



بررسی تجربی و عددی رشد ترک خستگی در آلیاژ تیتانیوم Ti-6Al-4V در حضور تنش‌های پسماند کششی

امیرمحمد زنگنه، ایرج ستاری فر*، محمد نوقابی

دانشگاه صنعتی امیرکبیر، دانشکده مهندسی مکانیک.

تاریخچه داوری:

دریافت: ۱۴۰۱/۹/۲۸

بازنگری: ۱۴۰۲/۰۲/۲۹

پذیرش: ۱۴۰۲/۰۳/۲۸

ارائه آنلاین: ۱۴۰۲/۰۴/۰۹

کلمات کلیدی:

رشد ترک خستگی

تنش پسماند

آلیاژ تیتانیوم

J

خلاصه: رشد ترک خستگی از مکانیزم‌های شکست در سازه‌های مهندسی می‌باشد که با وجود حوزه‌ی تنش پسماند کششی تشديدید می‌گردد. در این پژوهش، اثر تنش پسماند کششی در جلوی جبهه ترک بر روی رشد ترک خستگی مورد بررسی قرار گرفته است. تنش پسماند مکانیکی با استفاده از روش خمچه چهار نقطه بر روی نمونه‌ها اعمال شده است و همچنین اندازه‌گیری تنش پسماند با استفاده از روش کرنش سنجی سوراخ انجام گرفته است. آزمون رشد ترک خستگی بر روی نمونه‌های خمشی با ترک لبه دارای تنش پسماند و بدون تنش پسماند صورت پذیرفته و تکرار پذیری آزمایش بررسی شده است. به منظور بررسی ناحیه پلاستیک نوک ترک،

تنش پسماند اعمالی و بدست آوردن پارامترهای مکانیک شکست از نرم‌افزار تجاری آباکوس استفاده شده است. نتایج بررسی‌ها میزان افزایش نرخ رشد ترک خستگی در حضور تنش پسماند کششی را نشان می‌دهد. این افزایش نرخ رشد ترک خستگی تا ۵۰ درصد می‌تواند عمر خستگی را کاهش دهد.

می‌باشد که این ویژگی، تحت تأثیر تنش‌های پسماند در ناحیه نوک ترک می‌باشد. تخمین عمر خستگی سازه در حضور تنش‌های پسماند هنوز چالشی برای مهندسان طراح به شمار می‌آید. نتایج تحقیقات سایر محققان نشان داده است که تنش پسماند اثر قابل ملاحظه‌ای روی عمر خستگی سازه‌ها دارد [۳]. محققین زیادی اثرات تنش‌های پسماند روی عمر خستگی را بررسی کرده‌اند. "مک کلانگ" و همکاران [۴]، به بررسی مروری کارهای انجام شده در زمینه اثرات تنش پسماند و پایداری آن حین رشد ترک خستگی پرداختند. "وایدای" و همکاران [۵]، به بررسی المان محدود و تجربی رشد ترک در حوزه تنش‌های پسماند جوشی در دو حالت رشد ترک در راستای خط جوش و عمود بر خط جوش پرداختند. "مادوكس" و همکاران [۶] به بررسی استحکام خستگی سازه‌های جوشی حاوی تنش پسماند پرداختند. "ویترز" به بررسی مروری پژوهش‌های انجام شده در زمینه نقش تنش پسماند در خرابی سازه‌ها پرداخت [۷]. تنش پسماند کششی عمر خستگی را کاهش می‌دهد و تنش پسماند فشاری منجر به کاهش نرخ رشد ترک خستگی و در نتیجه افزایش عمر خستگی می‌شود [۸].

۱- مقدمه

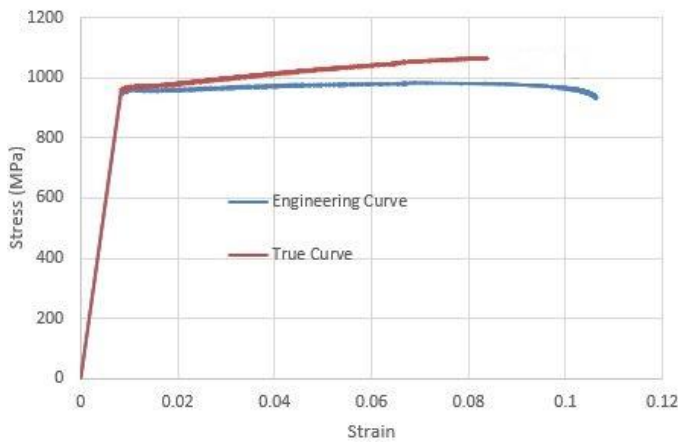
آلیاژ‌های تیتانیوم علاوه بر استحکام کششی و چقرومگی بالا (حتی در دماهای زیاد)، از مقاومت به خوردگی و خرس مناسبی نیز برخوردارند. ویژگی‌های فوق باعث کاربرد این آلیاژ در صنایع هوافضا، صنایع شیمیایی، برخی تجهیزات پزشکی، ایمپلنت‌ها و ساخت تجهیزات الکترونیکی شده است [۱]. با توجه به استفاده روزافزون آلیاژ‌های تیتانیوم در صنایع مختلف، لزوم تحقیقات بیشتر بر روی رفتار مکانیکی و دوام این آلیاژها تحت بارگذاری‌های مختلف وجود دارد.

خستگی، ضعیف شدن یک ماده ناشی از اعمال بارگذاری تکرارشونده می‌باشد. این آسیب، ساختاری پیشرونده و محلی دارد و زمانی رخ می‌دهد که یک ماده تحت بارگذاری نوسانی قرار گیرد. شکست خستگی بدون آگاهی قبلی و قابل رویت بودن اتفاق می‌افتد، لذا تحلیل عمر خستگی سازه‌ها و عوامل موثر بر آن بسیار مهم است. خستگی علت شکست زودهنگام بسیاری از قطعه‌های صنعتی است [۲]. عمر خستگی یک ویژگی دینامیکی مهم سازه

* نویسنده عهده‌دار مکاتبات: sattari@aut.ac.ir

(Creative Commons License) حقوق مؤلفین به نویسنده‌گان و حقوق ناشر به انتشارات دانشگاه امیرکبیر داده شده است. این مقاله تحت لیسانس آفرینندگی مردمی (Creative Commons License) در دسترس شما قرار گرفته است. برای جزئیات این لیسانس، از آدرس <https://www.creativecommons.org/licenses/by-nc/4.0/legalcode> دیدن فرمائید.





شکل ۱. منحنی تنش - کرنش آلیاژ تیتانیوم گرید ۵.

Fig. 1. Stress-strain curve of grade 5 titanium alloy.

از انجام این تحقیق، بررسی رفتار رشد ترک خستگی در حضور تنش‌های پسماند مکانیکی می‌باشد. تنش پسماند به کمک روش خمس چهار نقطه‌ای در نمونه‌ها ایجاد شد و به کمک روش "کرنش سنجی سوراخ" اندازه‌گیری شد. نمونه‌ها تحت بارگذاری خستگی قرار گرفتند و رشد ترک خستگی در نمونه‌های دارای تنش پسماند با نمونه‌های بدون تنش پسماند با یکدیگر مقایسه شدند.

۲- تست‌های تجربی

در این بخش، کارهای تجربی صورت گرفته بیان می‌گردد.

۲-۱- تست کشش

در ابتدا تست کشش تک محوره جهت بدست آوردن خواص مکانیکی آلیاژ تیتانیوم گرید ۵ صورت گرفت. با توجه به اینکه در تحلیل المان محدود نیاز است که داده‌های تنش کرنش حقیقی وارد شود، بایستی داده‌های حاصل از تست کشش را به نمودار تنش - کرنش حقیقی تبدیل نمود. تبدیل تنش - کرنش مهندسی به تنش کرنش حقیقی به کمک معادلات (۱) و (۲) انجام می‌گیرد. نتایج در شکل (۱) آورده شده است.

$$\sigma_{true} = \sigma_{eng} (1 + \varepsilon_{eng}) \quad (1)$$

$$\varepsilon_{true} = \ln(1 + \varepsilon_{eng}) \quad (2)$$

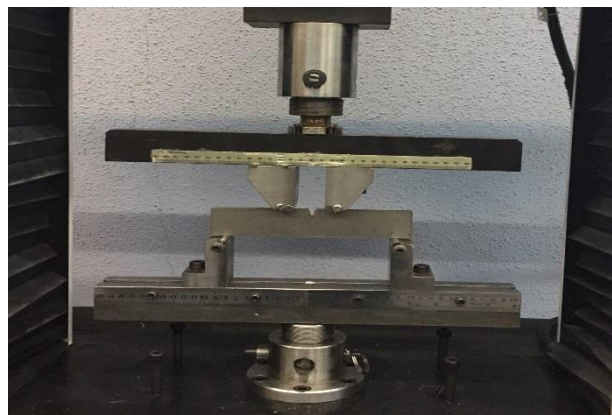
با گسترش روز افزون استفاده از آلیاژهای تیتانیوم در صنایع مختلف نظیر هواپما، که قطعات تحت بارگذاری تکرارشونده می‌باشند، تحقیقات زیادی روی عمر خستگی قطعات ساخته شده از آلیاژهای تیتانیوم صورت گرفته است. "نتو" و همکاران [۹] به بررسی عددی و تجربی رشد ترک خستگی در نمونه‌های آلیاژ تیتانیوم Ti-6Al-4V تحت بارگذاری "فرابار" پرداختند. نتایج تحقیق آن‌ها نشان داد که مکانیزم "بسته شدن ترک" ناشی از فرابار اثر قابل ملاحظه‌ای روی رشد ترک خستگی دارد. "لو" و همکاران [۱۰] اثر "ساقمه زنی" و "لیزرکوبی" را بر روی ریزساختار و خواص خستگی آلیاژ تیتانیوم Ti-6Al-4V طور تجربی بررسی کردند. آن‌ها پارامترهای مختلفی همچون مورفولوژی سطح، زبری سطح، تنش‌های پیماند فشاری و ریزساختار را بررسی کردند. نتایج آن‌ها نشان داد که تنش پسماند ناشی از فرابیند ساقمه‌زنی عمر خستگی را بهبود می‌بخشد. "زانگ" و همکاران [۱۱] به بررسی تجربی و عددی رشد ترک خستگی در آلیاژهای تیتانیوم در حضور تنش‌های پسماند ناشی از فرابیند "لیزرکوبی" پرداختند. آن‌ها به کمک روش "تفرق پرتو ایکس" تنش پسماند را قبل و بعد رشد خستگی در نمونه‌ها اندازه‌گیری کردند. آن‌ها از اصل "برهم نهی" و استفاده از روش تایپ وزنی برای پیش‌بینی نرخ رشد ترک خستگی در مدل المان محدود استفاده کردند. نتایج تحقیقات آن‌ها نشان داد که تنش‌های پسماند فشاری عمر خستگی را تا حد زیادی بهبود می‌بخشد.

با اینکه در دهه اخیر تحقیقات زیادی روی رشد ترک خستگی در آلیاژهای تیتانیوم صورت گرفته است، ولی اثرات ناشی از تنش‌های پسماند مکانیکی روی عمر خستگی این آلیاژها نیاز به تحقیقات بیشتر دارد. هدف

جدول ۱. مشخصات مکانیکی آلیاژ تیتانیوم گرید ۵.

Table 1. Mechanical specifications of grade 5 titanium alloy.

مدول الاستیک	تنش تسلیم (0.2%)	تنش نهایی
۱۱۳/۸ گیگاپاسکال	۹۵۰ مگاپاسکال	۱۰۱۰ مگاپاسکال



شکل ۲. تنظیمات انجام شده برای انجام تست خمس چهار نقطه.

Fig. 2. Four-point bending test settings.

خواص مکانیکی آلیاژ تیتانیوم گرید ۵ که از داده‌های حاصل از تست ساخته شد.
۲-۳- اندازه‌گیری تنش پسماند به روش کرنش‌ستجی سوراخ پس از ایجاد تنش پسماند، نیاز است که مقادیر آن به صورت تجربی اندازه‌گیری شود. در این تحقیق، از روش کرنش‌ستجی سوراخ برای اندازه‌گیری تنش‌های پسماند استفاده گردید. روش کرنش‌ستجی سوراخ یکی از روش‌های شناخته شده برای اندازه‌گیری تجربی تنش‌های پسماند می‌باشد. در شکل (۳) نحوه چسبندن گلبرگ به قطر $5/13$ میلی متر و دقت سطح 0.02 میلی متر جهت اندازه‌گیری کرنش بر روی نمونه مشاهده می‌شود.

۳- مدلسازی المان محدود

در این بخش، نحوه مدل‌سازی تنش پسماند مکانیکی و همچنین رشد

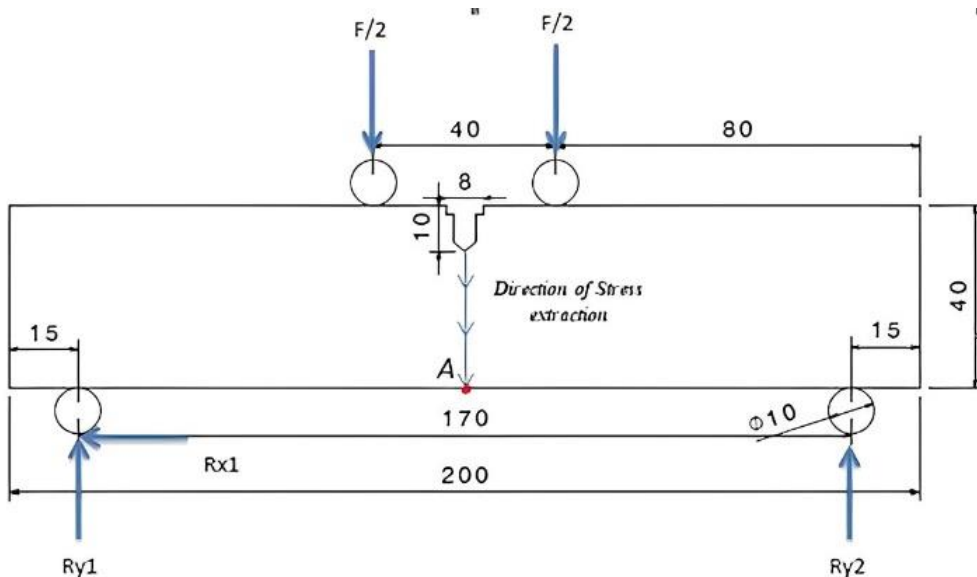
کشش تک محوره می‌باشد، در جدول (۱) آورده شده است. این داده‌ها نتایج حاصل از میانگین گرفتن برای ۳ نمونه تست کشش می‌باشد.

۲- ایجاد تنش پسماند مکانیکی برای ایجاد تنش پسماند مکانیکی از روش خمس چهار نقطه‌ای استفاده می‌گردد. این روش، از مرسوم‌ترین روش‌های ایجاد تنش پسماند مکانیکی می‌باشد [۱۲]. تصویر این روش در شکل (۲) نشان داده شده است. در استاندارد ISO 12108 [۱۳] ابعاد و ویژگی‌های نمونه خمس چهار نقطه‌ای آمده است. طبق استاندارد برای جلوگیری از اثر تنش برشی ناشی از فاصله دو تکیه‌گاه حداقل ۲ برابر طول اسپن کوچک باشد. همچنین طول اسپن کوچک باید حداقل ۲ برابر پهنای نمونه باشد. نمونه‌ها مطابق استاندارد



شکل ۳. گلبرگ چسبانده شده بر روی بلوک آلیاژ تیتانیوم ۵ گردید.

Fig. 3. Strain gauge rosette attached on grade 5 titanium alloy plate.



شکل ۴. هندسه و شرایط مرزی اعمال شده به مدل المان محدود.

Fig. 4. Geometry and boundary conditions applied to the finite element model.

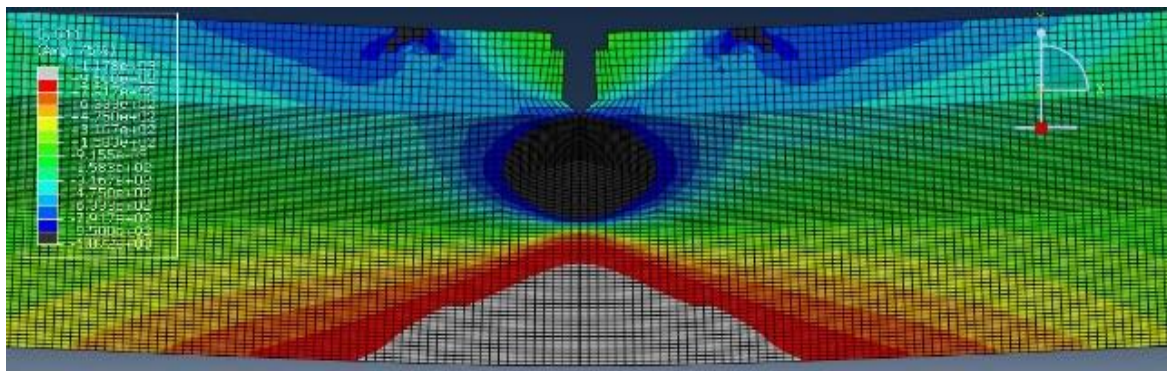
ترک خستگی در نرم‌افزار المان محدود آباکوس بیان می‌گردد.
۱۰ میلی‌متر) به عنوان عامل وارد کردن نیرو و دو میله در پایین (به قطر ۱۰ میلی‌متر) به عنوان تکیه‌گاه در نظر گرفته شده است. فاصله میله‌ها از یکدیگر

در شکل (۴) مشخص می‌باشد.

به دلیل فرورفتگی میله‌های فک‌های خمش در بلوک تیتانیومی و عدم لغزش بلوک بر روی میله‌های استوانه‌ای، شرایط مرزی بین میله‌ها و بلوک تیتانیومی بدون اصطکاک در نظر گرفته شده است. از المان‌های مکعبی ۸ گره‌ای با ابعاد ۰/۰۶۲۵ میلی‌متر جهت مشبندی در نوک ترک استفاده گردید.

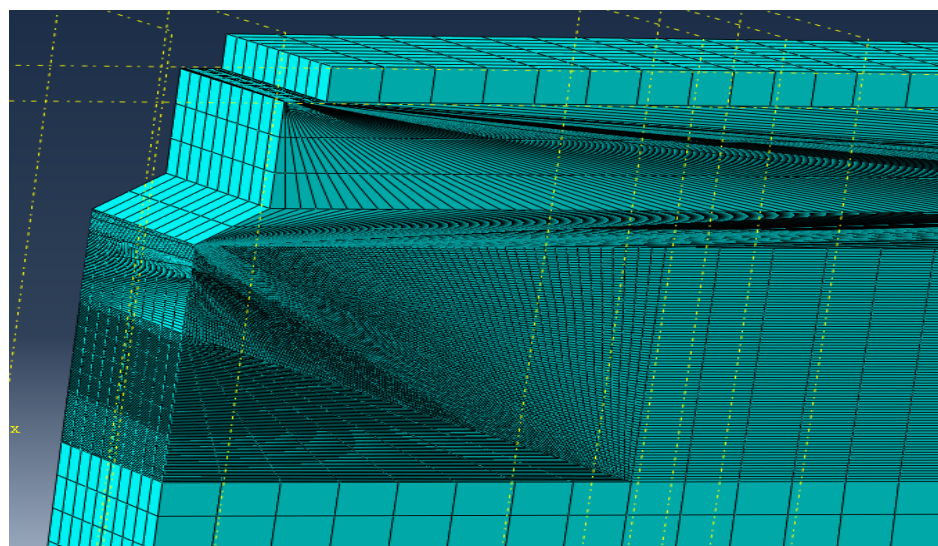
۳-۱- ایجاد تنش پسماند مکانیکی

ورق آلیاژ تیتانیوم ۵ با ابعاد $200 \times 40 \times 10$ میلی‌متر به صورت سه بعدی مدل شده است. همچنین شیاری به عمق ۱۰ میلی‌متر در مرکز قطعه قرار دارد. شرایط مرزی اعمال شده به مدل المان محدود به این صورت است که بلوک تیتانیوم بین چهار میله قرار گرفته است. دو میله در بالا (به قطر



شکل ۵. به تسلييم رسيدن مناطق مشخص شده به رنگ خاکستری در مدل المان محدود.

Fig. 5. The gray coloured areas in the finite element model are reached to yield.



شکل ۶. نمایی از مشبندی در ناحیه نوک ترک.

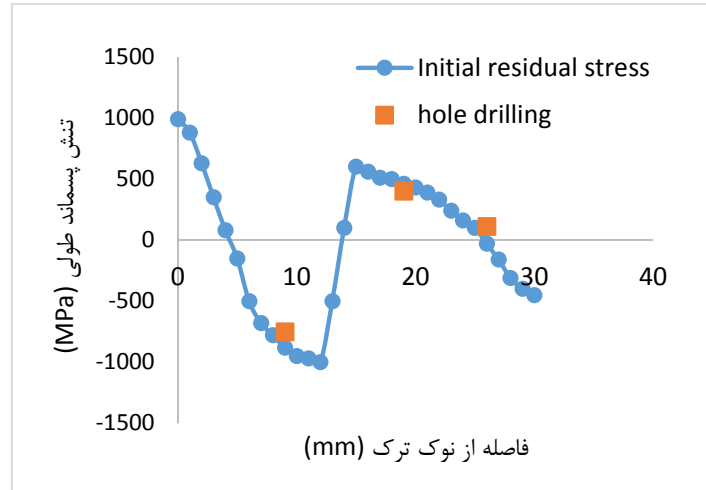
Fig. 6. A view of meshing in the crack tip area.

مرحله دوم با حفظ شرایط مرزی بارگذاری، بار از روی قطعه کار برداشته شده و تنش پسماند در قطعه باقی می‌ماند. شکل (۵) توزیع تنش در راستای طول نمونه بعد از بارگذاری را نشان می‌دهد. مناطقی که با رنگ مشکی مشخص شده است وارد منطقه پلاستیک شده است. در شکل (۶) نمایی از مشبندی در ناحیه نوک ترک مشاهده می‌گردد. مشن‌ها با نزدیک شدن به نوک ترک در چند مرحله ریزتر شدند.

در شکل (۷) نمودار تنش پسماند طولی در نمونه به روش المان محدود که با روش کرنش سنجی سوراخ صحه سنجی شده است، نشان داده شده است. اندازه گیری تنش پسماند در ۶ نقطه انجام شده (۳ نقطه روی نمونه

ابعاد المان‌ها با توجه به آنالیز حساسیت مش انتخاب گردید. ابعاد المان در نوک ترک کوچکتر از ابعاد المان در سایر قسمت‌ها می‌باشد. نمونه از حدود ۲۵۰ هزار المان تشکیل شده است. در پژوهش حاضر بعد از خریداری آلیاز تیتانیوم، این آلیاز تنش‌گیری شده و به همین دلیل در تحلیل المان محدود از اثر باوشینگر صرف نظر شده است. بنابراین رفتار ماده در منطقه پلاستیک نمودار تنش - کرنش سخت شوندگی همسانگرد در نظر گرفته شده و از سخت شوندگی سینماتیکی صرف نظر شده است.

مقدار نیروی در نظر گرفته شده جهت ایجاد تنش پسماند ۸۰۰۰۰ نیوتن می‌باشد. در این تحلیل ابتدا نیرو و توسط پین‌ها به قطعه اعمال می‌شود و در



شکل ۷. تنش پسماند طولی در راستای خط تقارن قطعه.

Fig. 7. Longitudinal residual stress along the symmetry line of the specimen

ISO12108 ضخامت نمونه باید بین $W \leq B \leq 4W$ باشد. با توجه به اینکه ضخامت نمونه ۱۰ میلیمتر بود، این شرط برقرار است. همچنین باید قطر غلتکها بزرگتر از $\frac{W}{8} \leq d$ باشد که این شرط نیز برقرار است. برای اطمینان از تسلیم شدن کل مقطع، رابطه زیر برای قسمت غیرشیاردار بایستی برقرار باشد.

$$W - a = \frac{12WF_{\max}}{2BR_{p0.2}} \quad (3)$$

که در رابطه فوق، W پهنای نمونه، B ضخامت قطعه، a طول شیار و $R_{p0.2}$ تنش تسلیم جنس نمونه می‌باشد. بازه‌های اندازه‌گیری رشد ترک طبق استاندارد باید $0.4W \leq \Delta a \leq 0.6W$ باشد. لذا بازه اندازه‌گیری باید کوچکتر از $1/6$ میلیمتر باشد. در این تحقیق بازه اندازه‌گیری طول ترک $5/5$ میلیمتر بود. شرایط مرزی اعمال شده به مدل المان محدود به این صورت است که بلوک تیتانیوم بین ۳ غلتک قرار گرفته است. یک میله (به قطر 25 میلی‌متر) به عنوان عامل وارد کردن نیرو و دو میله (به قطر 25 میلی‌متر) به عنوان تکیه‌گاه در نظر گرفته شده است.

شرایط مرزی به میله‌ها اعمال شده و بین میله‌ها و بلوک تیتانیومی بدون اصطکاک در نظر گرفته شده است. به دلیل فرورفتگی میله‌های فکهای خمس در بلوک تیتانیومی و عدم لغزش بلوک بر روی میله‌های استوانه‌ای رابطه این دو جسم بدون اصطکاک در نظر گرفته شده است. در این شبیه

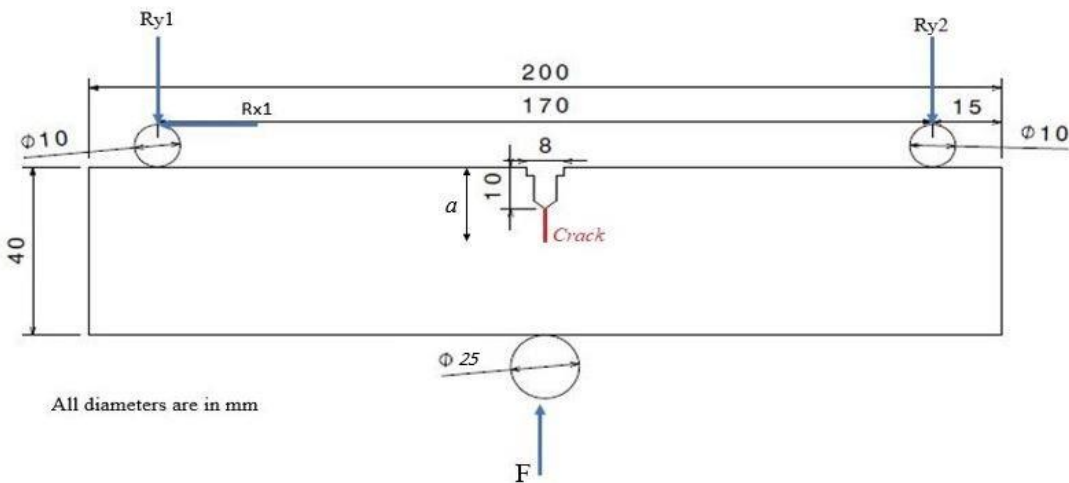
و ۳ نقطه پشت نمونه در فواصل یکسان) و سپس میانگین گرفته شده است. لازم به ذکر است که تنش پسماند اولیه حین بارگذاری سیکلی دچار رهایی^۱ می‌شود و توزیع مجدد^۲ می‌یابد. محققین زیادی به بررسی اثر رهایی تنش پسماند و توزیع مجدد آن بر عمر خستگی پرداخته‌اند. "نوتابی"^۳ و همکاران توزیع مجدد تنش پسماند مکانیکی بر اثر رشد ترک خستگی را بررسی کردند. نتایج تحقیق نشان داد که تنش پسماند اولیه پس از چند سیکل بارگذاری خستگی، توزیع مجدد می‌یابد که نحوه توزیع مجدد آن وابسته به سطح تنش پسماند اولیه و دامنه بارگذاری سیکلی می‌باشد [۱۴]. در این تحقیق، رهایی تنش پسماند اولیه در مدل‌های المان محدود لحاظ شده است.

۳-۲- رشد ترک خستگی

شبیه‌سازی رشد ترک خستگی برای بارگذاری خمس سه نقطه‌ای توسط نرم‌افزار المان محدود در دو نمونه که یکی دارای تنش پسماند مکانیکی ناشی از خمس^۴ نقطه (توضیح داده شده در بخش ۱-۳) و دیگری بدون حضور تنش پسماند انجام می‌شود. در شکل (۸) هندسه و شرایط مرزی اعمال شده به مدل المان محدود که مشابه تست‌های تجربی رشد ترک خستگی بوده است، مشاهده می‌گردد. ابعاد نمونه و همچنین فیکسچر بارگذاری مطابق با استاندارد ISO12108 ساخته شد. که طبق استاندارد

1 Relaxation

2 Redistribute



شکل ۸. هندسه و شرایط مرزی اعمال شده به مدل المان محدود (خمش سه نقطه) در شبیه سازی رشد ترک خستگی.

Fig. 8. Geometry and boundary conditions applied to the finite element model (three-point bending) in fatigue crack growth simulation.

انتگرال غیروابسته به مسیر را ارائه کرد که در مسایل ترک تحت تنش‌های اولیه و ثانویه شامل تنش‌های حرارتی، تنش‌های پسماند و یا ترکیب آنها قابل استفاده می‌باشد.

"لی" یک مقدار متوسط تنش پسماند را به صورت توزیع تنش ورودی در یک جسم بدون ترک اعمال کرد و حوزه کرنشی مطلوب ϵ_{ij}^e را پس از جدا کردن کرنش‌های الاستیک به دست آورد. با وجود کرنش‌های اولیه، کرنش کل ϵ_{ij} به دو کرنش ناشی از بارگذاری مکانیکی ϵ_{ij}^m و کرنش اولیه ϵ_{ij}^0 تقسیم می‌گردد.

سازی، رشد ترک خستگی از $1/5$ تا 6 میلی متر در نوک شیار در نظر گرفته شده است.

۴- بحث روی نتایج

چنانچه بارگذاری به گونه‌ای باشد که در ناحیه نوک ترک منطقه پلاستیک بزرگی ایجاد شود، مکانیک شکست الاستوپلاستیک می‌تواند درک بهتری از نحوه رشد ترک ارائه نماید. یکی از مهم‌ترین و پرکاربردترین پارامترها در این حوزه انتگرال J می‌باشد. مفهوم انتگرال J اولین بار توسط رایس [۱۵] ارائه شد. این انتگرال مستقل از مسیر بوده و به صورت رابطه ۴ تعریف می‌شود.

$$\epsilon_{ij} = \epsilon_{ij}^m + \epsilon_{ij}^0 \quad (5)$$

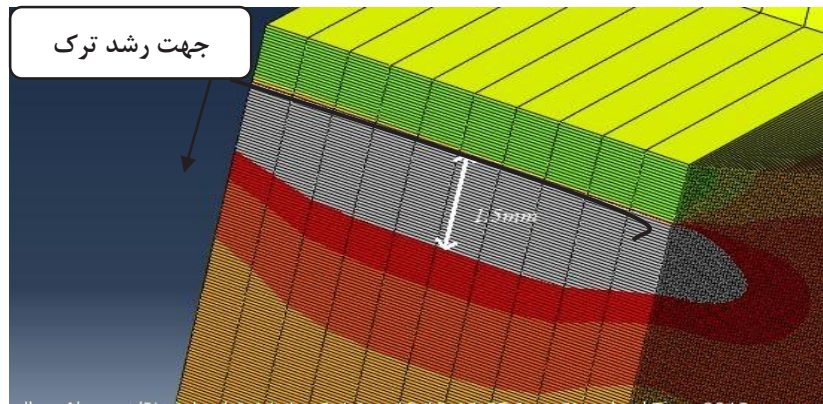
$$J = \int_{\Gamma} (Wn_1 - T_m \frac{\partial u_m}{\partial x_1}) ds \quad (4)$$

$\epsilon_{ij}^e \Big|_{initial}$ کرنش‌های اولیه فقط به کرنش‌های پلاستیک در حالت اولیه بستگی دارند نه کرنش الاستیک ϵ_{ij}^e و نظیر آن.

$$\epsilon_{ij}^0 = \epsilon_{ij}^e \Big|_{initial} \quad (6)$$

این مسئله به این دلیل است که کرنش‌های الاستیک اولیه برگشت‌پذیر هستند و این امر آنها را به عنوان بخشی از کرنش مکانیکی نشان می‌دهد. یک مورد مهم دیگر که باید در هنگام محاسبه انتگرال J در مواردی

در این رابطه، W چگالی انرژی کرنشی، n_1 مؤلفه x_1 نرمال واحد بر کانتور Γ ، $T_m = \sigma_{mk} n_k$ نیروی وارد و u_m مؤلفه جابجایی است. پس از رایس، محققین دیگری از مفهوم انتگرال J برای بیان معیار رشد ترک استفاده نمودند [۱۶، ۱۷]. این مفهوم گسترش یافت و پژوهشگران دیگری نیز از آن برای تحلیل رشد ترک خستگی استفاده نمودند [۱۸-۲۰]. تنش پسماند سبب می‌شود تا این انتگرال، استقلال از مسیر خود را از دست داده و مقدار دقیقی به دست ندهد. لذا بایستی آن را اصلاح نمود. "لی" یک



شکل ۹. شعاع منطقه پلاستیک جبهه ترک.

Fig. 9. The radius of the plastic zone at the crack tip.

می باشدند. تنش تسلیم ۹۵۰ مگاپاسکال می باشد و مقدار K_I را می توان از تبدیل انتگرال J که از نرم افزار المان محدود آباکوس بدست می آید، محاسبه نمود و با جایگذاری در رابطه ۸ مقدار r_y برابر $2/21$ میلی متر محاسبه می گردد. در شکل ۹ شعاع منطقه پلاستیک در نوک ترک مشاهده می گردد و چون کوچکتر از $2/21$ میلی متر است، می توان گفت که پارامتر K می تواند به عنوان پارامتر حاکم در جبهه ترک معتبر باشد.

طبق رابطه (۱۰) می توان مقدار K_I را محاسبه نمود.

$$J = \frac{K_I^2}{E} \quad (10)$$

با استفاده از رابطه ۹ می توان مقدار K_I را در جبهه ترک برای ترک های ۱/۵ تا ۶ میلی متری محاسبه نمود. بارگذاری خستگی با نیروی ۲۰۰۰۰ نیوتون و نسبت تنش $R=0.1$ و با فرکانس ۱۰ هرتز صورت گرفت. در این شبیه سازی جبهه هر ترک از ۱۰ المان (عمود بر صفحه ترک در جهت ضخامت قطعه) تشکیل شده است که مقدار انتگرال J را می توان برای هر یک از این المان ها محاسبه نمود. در شکل (۱۰) می توان مقدار بیشینه انتگرال J در جبهه ترک های ۱/۵ تا ۶ میلی متری حین رشد ترک خستگی در نمونه بدون تنش پسماند را مشاهده کرد. مقادیر انتگرال J در شبیه سازی رشد ترک خستگی در حضور تنש پسماند مکانیکی برای جبهه ترک ۱/۵ تا ۶ میلی متری را می توان در نمودار شکل (۱۱) مشاهده نمود.

که دارای تنش پسماند هستند در نظر گرفته شود، چگالی انرژی کرنشی W می باشد که باید فقط به کرنش های مکانیکی و نه کرنش های اولیه وابسته باشد. چگالی انرژی کرنشی مکانیکی با استفاده از رابطه زیر اصلاح شد.

$$W^m = W - W^p \Big|_{initial} \quad (7)$$

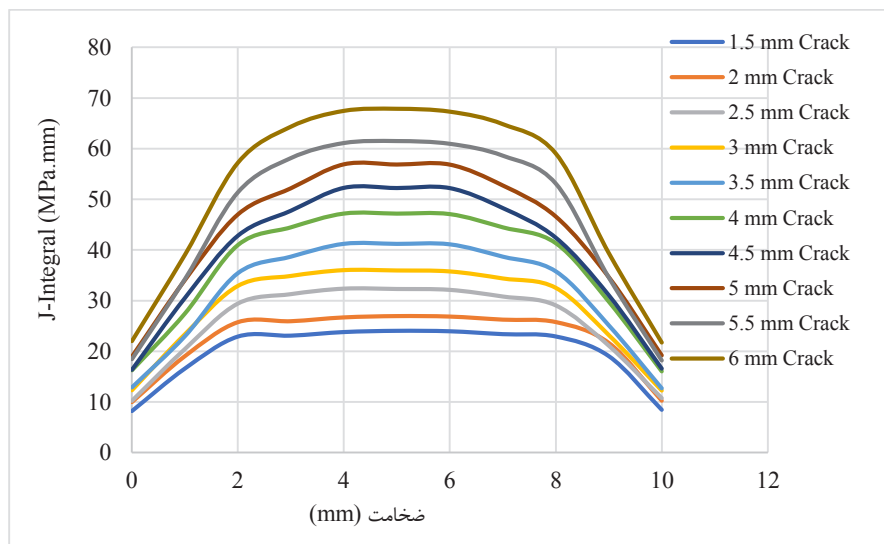
که در اینجا W^m چگالی انرژی کرنشی مکانیکی، W چگالی انرژی کرنشی کل و $W^p \Big|_{initial}$ چگالی انرژی کرنشی پلاستیک اولیه می باشد. رابطه زیر اثرات تنش پسماند را در معادله انتگرال J لحاظ می کند [۲۱].

$$J = \int_A \left[\left(\sigma_{ij} \frac{\partial u_j}{\partial x_i} - W^m \delta_{ij} \right) \frac{\partial q_1}{\partial x_i} + \sigma_{ij} \frac{\partial \varepsilon_{ij}^0}{\partial x_i} q_1 \right] dA \quad (8)$$

شرط اصلی به منظور تبدیل انتگرال J به K_I کوچک بودن منطقه پلاستیک نوک ترک می باشد. ایروین رابطه (۹) را به منظور محاسبه تخمینی منطقه پلاستیک در جبهه ترک پیشنهاد داده است.

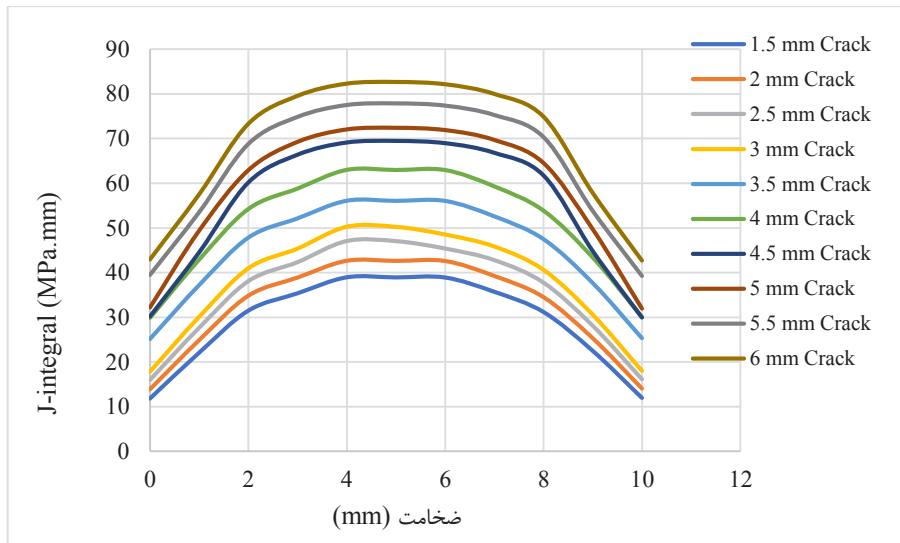
$$r_y = \frac{1}{2\pi} \left(\frac{K_I}{\sigma_y} \right)^2 \quad (9)$$

که در این رابطه K_I ضریب شدت تنش و σ_y تنش تسلیم ماده



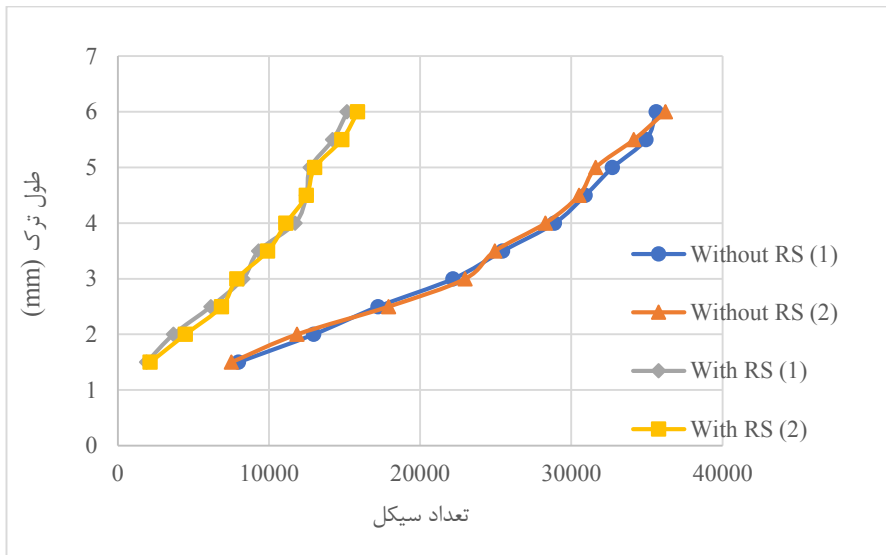
شکل ۱۰. مقادیر انتگرال J در جبهه ترک ۱/۵ تا ۶ میلی‌متری بدون حضور تنش پسماند.

Fig. 10. The J-Integral values in the 1.5 to 6 mm crack without residual stress.



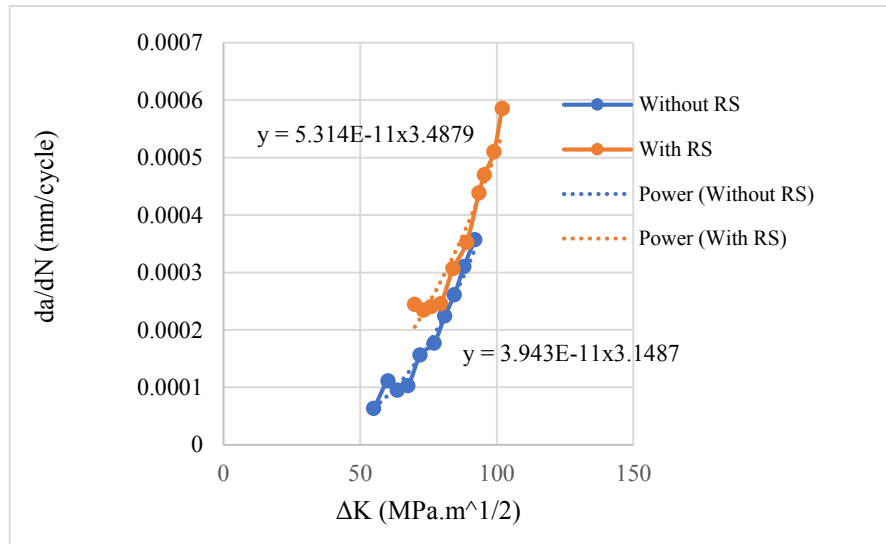
شکل ۱۱. مقادیر انتگرال J در جبهه ترک ۱/۵ تا ۶ میلی‌متری دارای تنش پسماند.

Fig. 11. The J-Integral values in the 1.5 to 6 mm crack in the presence of residual stress.



شکل ۱۲. نمودار تجربی رشد طول ترک بر حسب تعداد سیکل برای ۲ نمونه با تنش پسماند و ۲ نمونه بدون تنش پسماند.

Fig. 12. Experimental diagram of crack growth according to the number of cycles for 2 samples with residual stress and 2 samples without residual stress.



شکل ۱۳. نمودار تجربی نرخ رشد ترک برای نمونه دارای تنش پسماند و بدون تنش پسماند

Fig. 13. Experimental graph of crack growth rate for samples with residual stress and without residual stress

شدت تنش مشاهده می‌شود. با استفاده از برازش منحنی روی داده‌های نمودار شکل (۱۳)، ضرایب مربوط به جنس ماده در رابطه قانون رشد ترک پاریس به دست می‌آید.

$$\frac{da}{dN} = C(\Delta K)^m \quad (11)$$

نمودار تجربی رشد طول ترک بر حسب تعداد سیکل بارگذاری خستگی برای نمونه‌های دارای تنش پسماند مکانیکی و بدون تنش پسماند در شکل (۱۲) آورده شده است. اندازه گیری رشد ترک به کمک روش چشمی و به کمک یک خط کش مدرج با دقیقیت ۵/۰ میلیمتر انجام گردید. در شکل (۱۳) نمودار تجربی نرخ رشد ترک خستگی بر حسب بازه ضرایب

جدول ۲. مقادیر محاسبه شده C و m

Table 2. Calculated values of C and m parameters.

پارامتر	m	C
مطالعه حاضر (با تنش پسماند)	مطالعه حاضر (بدون تنش پسماند)	
$5/31 \times 10^{-11}$	$3/94 \times 10^{-11}$	
۳/۴۹	۳/۱۵	

- [2] N. Benachour, M. Benachour, A. Hadjoui, B. Mohamed, Effect of the amplitude loading on fatigue crack growth, Procedia Engineering, 2 (2010) 121-127.
- [3] R. Bucci, Effect of residual stress on fatigue crack growth rate measurement, in, ASTM International, 1981, pp. 28-47.
- [4] R.C. McClung, A literature survey on the stability and significance of residual stresses during fatigue, Fatigue & Fracture of Engineering Materials & Structures, 30(3) (2007) 173-205.
- [5] W.V. Vaidya, P. Staron, M. Horstmann, Fatigue crack propagation into the residual stress field along and perpendicular to laser beam butt-weld in aluminium alloy AA6056, Fatigue & Fracture of Engineering Materials & Structures, 35(5) (2012) 399-411.
- [6] S.J. Maddox, Fatigue Strength of Welded Structures, Woodhead Publishing, Limited, 2000.
- [7] P.J. Withers, Residual stress and its role in failure, Reports on Progress in Physics, 70(12) (2007) 2211.
- [8] Z. Barsoum, I. Barsoum, Residual stress effects on fatigue life of welded structures using LEFM, Engineering failure analysis, 16(1) (2009) 449-467.
- [9] D. Neto, M. Borges, F. Antunes, J. Jesus, Mechanisms of fatigue crack growth in Ti-6Al-4V alloy subjected to single overloads, Theoretical and Applied Fracture Mechanics, 114 (2021) 103024.
- [10] X. Luo, N. Dang, X. Wang, The effect of laser shock peening, shot peening and their combination on the microstructure and fatigue properties of Ti-6Al-4V titanium alloy, International Journal of Fatigue, 153

ضرایب مربوط به جنس که در جدول (۲) آورده شده است از اهمیت بالایی برخوردارند. به کمک این ضرایب که وابسته به جنس هستند، می‌توان عمر خستگی را در بارگذاری‌ها و هندسه‌های مختلف تخمین زد.

۵- نتیجه‌گیری

در این تحقیق، به مطالعه اثر تنش‌های پسماند بر روی رشد ترک خستگی آلیاژ تیتانیوم گردید ۵ پرداخته شد. تنش پسماند مکانیکی توسط روش خمس چهار نقطه‌ای ایجاد شد. توزیع این تنش پسماند به کمک روش کرنش سنجی سوراخ صحنه‌سنجی شد. شبیه‌سازی تنش پسماند و رشد ترک خستگی توسط نرم افزار المان محدود آباکوس انجام گرفت. نتایج این تحقیق به قرار زیر است.

- ۱- تنش‌های پسماند تاثیر قابل توجهی بر روی عمر خستگی و مشخصات شکست نمونه‌ها دارد.
- ۲- تنش پسماند کشنشی سبب افزایش نرخ رشد ترک خستگی می‌شود که این عمر منجر به کاهش عمر خستگی می‌گردد. تنش‌های پسماند کشنشی تا ۵۰ درصد عمر خستگی را کاهش می‌دهند.
- ۳- انتگرال \int پارامتر مناسبی جهت بررسی رشد ترک خستگی در حضور تنش‌های پسماند می‌باشد.

تشکر و قدردانی

از پژوهشگاه فضایی ایران که حمایت مالی این پژوهش را بر عهده داشته است، قدردانی می‌گردد.

منابع

- [1] G. Lütjering, J.C. Williams, Titanium, Springer Berlin Heidelberg, 2013.

- [16] J.A. Begley, J.D. Landes, The J integral as a fracture criterion, in, ASTM Standard, 1972.
- [17] K.B. Broberg, Crack-growth criteria and non-linear fracture mechanics, Journal of the Mechanics and Physics of Solids, 19(6) (1971) 407-418.
- [18] C.L. Chow, T.J. Lu, On the cyclic J-integral applied to fatigue cracking, International Journal of Fracture, 40(3) (1989) 53-59.
- [19] N. Dowling, J.A. Begley, Fatigue Crack Growth During Gross Plasticity and the J-Integral, ASTM special technical publications, (1976) 82-103.
- [20] M. Noghabi, I. Sattarifar, H. Hosseini Toudehky, Estimation of Fatigue Life in Al alloy Specimens Using FEA, Mechanic of Advanced and Smart Materials, 1(1) (2021) 56-71. (in Persian).
- [21] Y. Lei, N. O'dowd, G. Webster, Fracture mechanics analysis of a crack in a residual stress field, International Journal of Fracture, 106(3) (2000) 195-216.
- [22] (2021) 106465.
- [11] H. Zhang, Z. Cai, J. Chi, R. Sun, Z. Che, H. Zhang, W. Guo, Fatigue crack growth in residual stress fields of laser shock peened Ti6Al4V titanium alloy, Journal of Alloys and Compounds, 887 (2021) 161427.
- [12] A.M. Sisan, The influence of prior thermal and mechanical loading on fracture, University of Bristol, 2005.
- [13] ISO12108. International Standard – Metallic material – Fatigue Testing – Fatigue crack growth method, in, ISO, Geneva, Switzerland 2018.
- [14] M. Noghabi, I. Sattari-far, H.H. Toudehky, The study of redistribution in residual stresses during fatigue crack growth, Journal of Mechanical Engineering and Sciences, 15(4) (2021) 8565 - 8579.
- [15] J. Rice, A Path Integral and the Approximate Analysis of Strain Concentration by Notches and Cracks, Journal of Applied Mechanics, 35 (1968) 379-386.

چگونه به این مقاله ارجاع دهیم

A. Zangeneh, I. Sattarifar, M. Noghabi, A Numerical and Experimental Study on Fatigue Crack Growth of Ti-6Al-4V Specimens in Presence of Tensile Residual Stresses, Amirkabir J. Mech Eng., 55(4) (2023) 543-554.

DOI: [10.22060/mej.2023.22012.7556](https://doi.org/10.22060/mej.2023.22012.7556)

